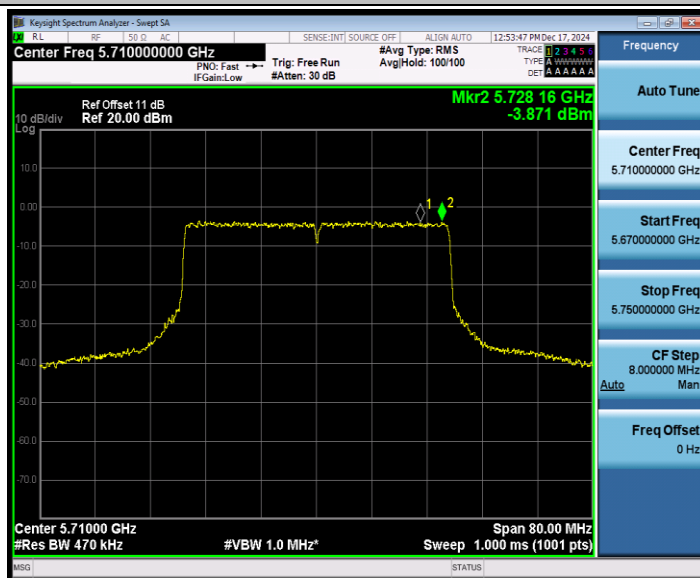


11AX40MIMO_Ant1_5710_UNII-3



11AX40MIMO_Ant2_5710_UNII-3



11AX40MIMO_Ant1_5755



11AX40MIMO_Ant2_5755



11AX40MIMO_Ant1_5795



11AX40MIMO_Ant2_5795



11AX80MIMO_Ant1_5210



11AX80MIMO_Ant2_5210



11AX80MIMO_Ant1_5290



11AX80MIMO_Ant2_5290



11AX80MIMO_Ant1_5530



11AX80MIMO_Ant2_5530



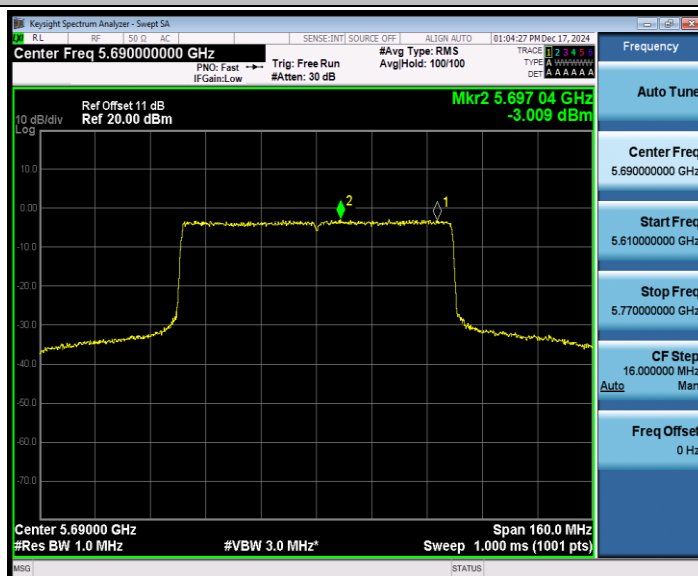
11AX80MIMO_Ant1_5610



11AX80MIMO_Ant2_5610



11AX80MIMO_Ant1_5690_UNII-2C



11AX80MIMO_Ant2_5690_UNII-2C



11AX80MIMO_Ant1_5690_UNII-3



11AX80MIMO_Ant2_5690_UNII-3



11AX80MIMO_Ant1_5775



11AX80MIMO_Ant2_5775



11AX160MIMO_Ant1_5250_UNII-1



11AX160MIMO_Ant2_5250_UNII-1



11AX160MIMO_Ant1_5250_UNII-2A



11AX160MIMO_Ant2_5250_UNII-2A



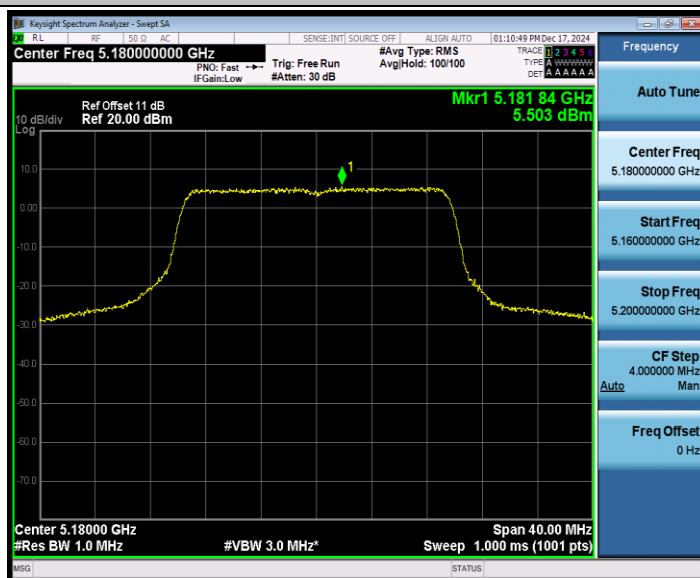
11AX160MIMO_Ant1_5570



11AX160MIMO_Ant2_5570



11BE20MIMO_Ant1_5180



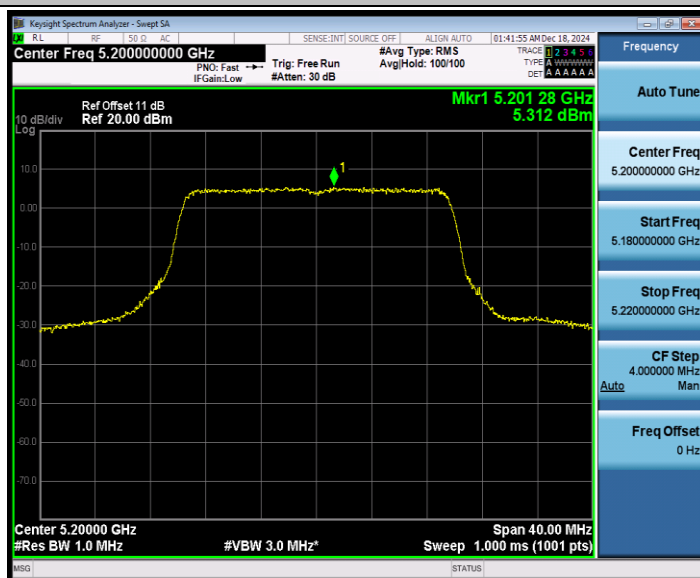
11BE20MIMO_Ant2_5180



11BE20MIMO_Ant1_5200



11BE20MIMO_Ant2_5200



11BE20MIMO_Ant1_5240



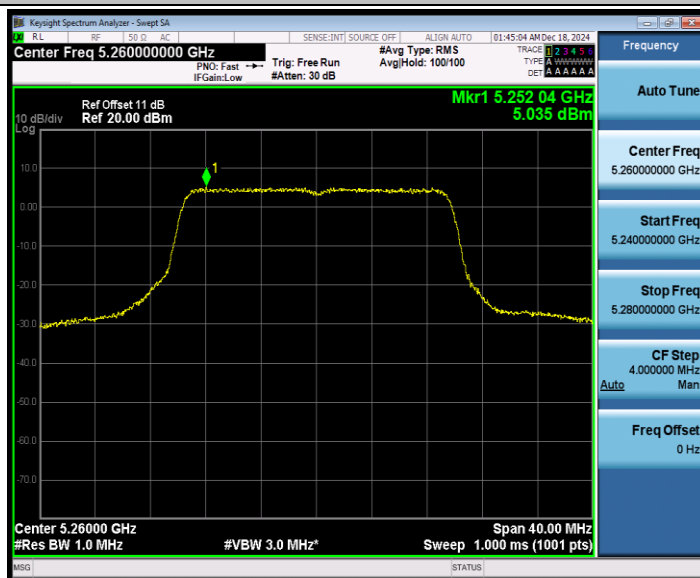
11BE20MIMO_Ant2_5240



11BE20MIMO_Ant1_5260



11BE20MIMO_Ant2_5260



11BE20MIMO_Ant1_5280



11BE20MIMO_Ant2_5280



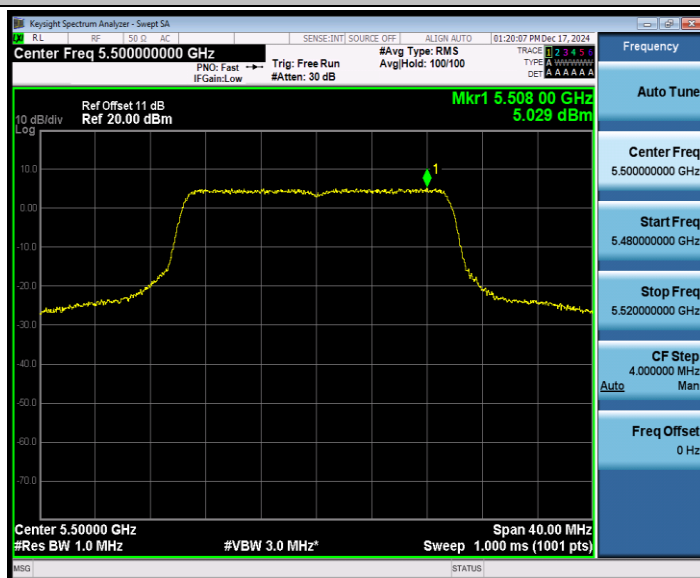
11BE20MIMO_Ant1_5320



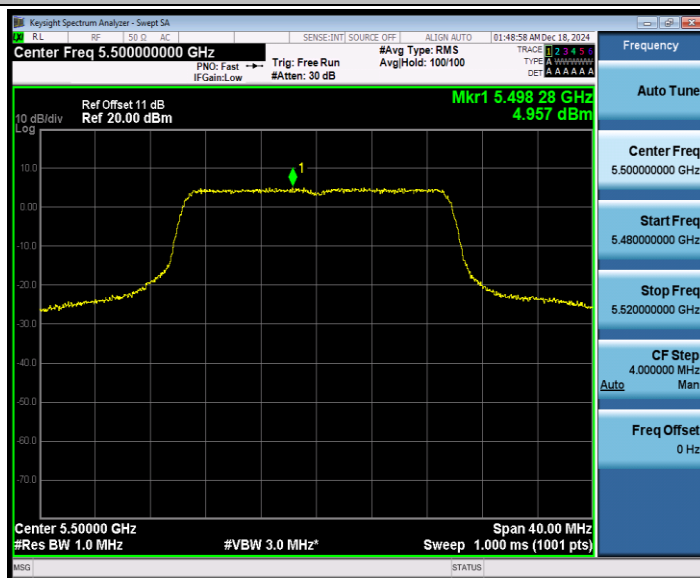
11BE20MIMO_Ant2_5320



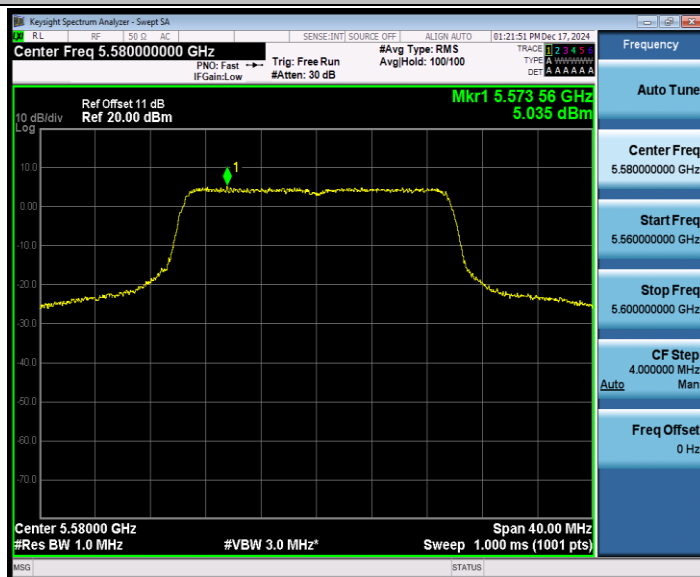
11BE20MIMO_Ant1_5500



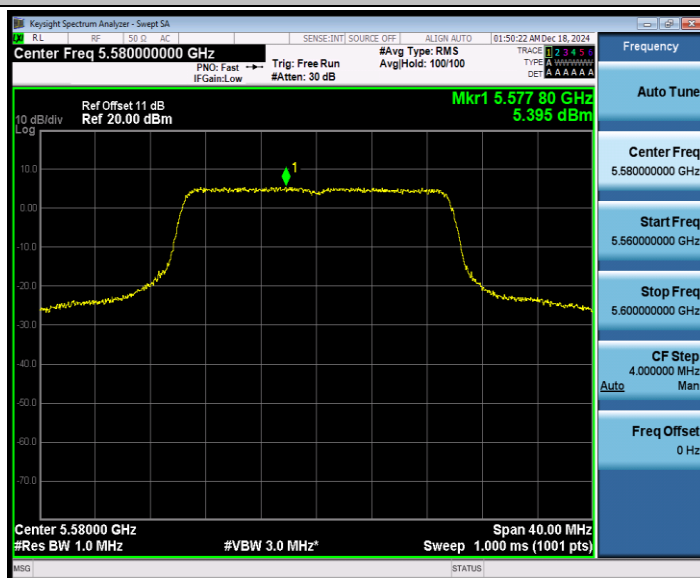
11BE20MIMO_Ant2_5500



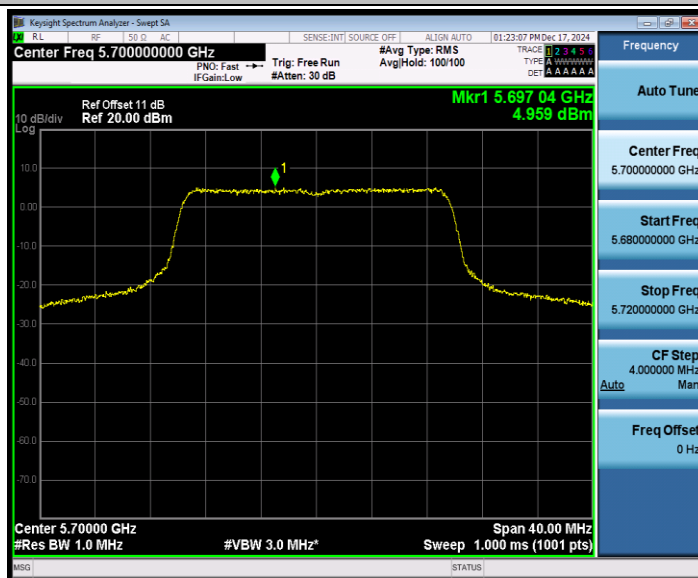
11BE20MIMO_Ant1_5580



11BE20MIMO_Ant2_5580



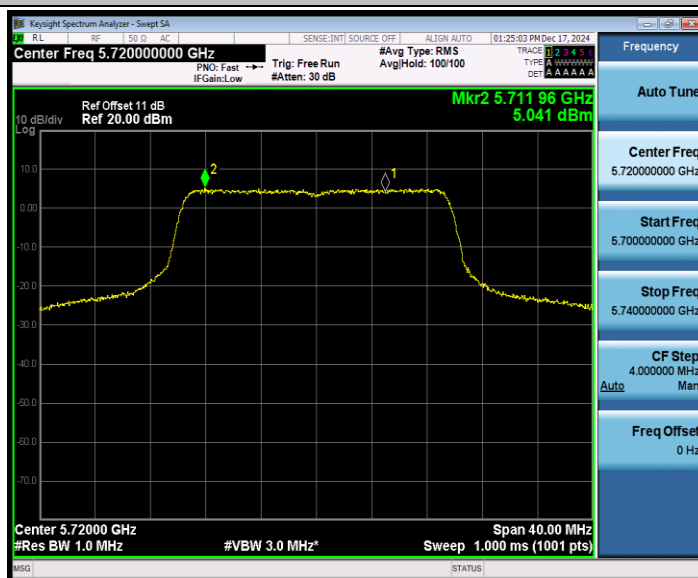
11BE20MIMO_Ant1_5700



11BE20MIMO_Ant2_5700



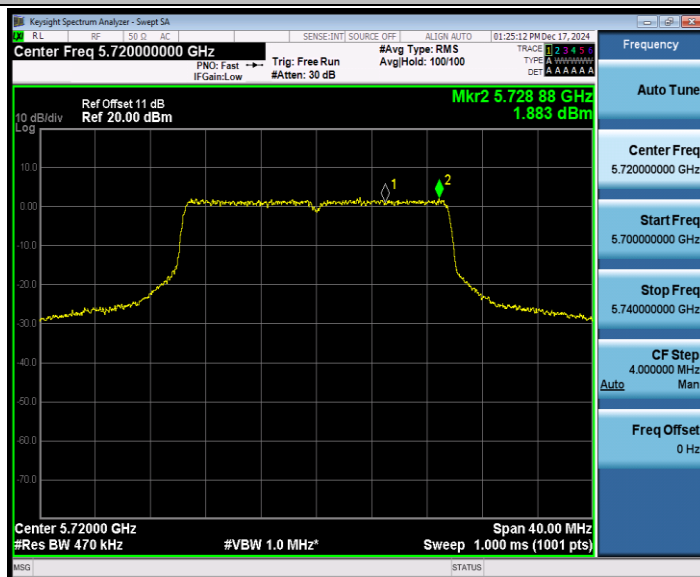
11BE20MIMO_Ant1_5720_UNII-2C



11BE20MIMO_Ant2_5720_UNII-2C



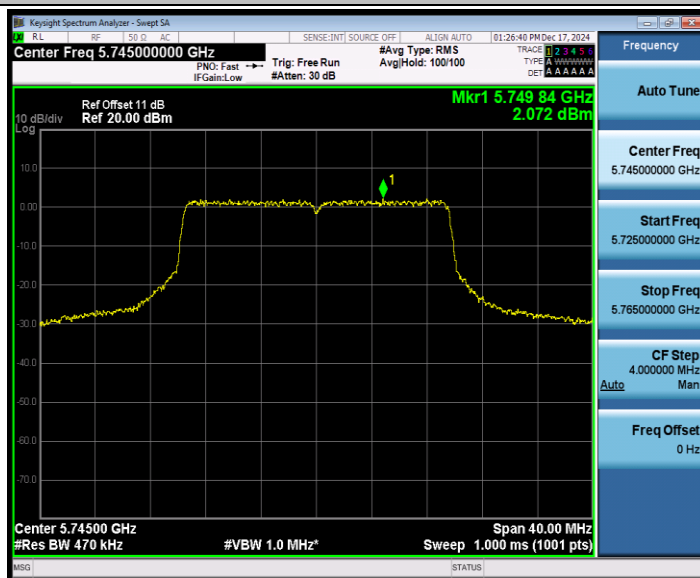
11BE20MIMO_Ant1_5720_UNII-3



11BE20MIMO_Ant2_5720_UNII-3



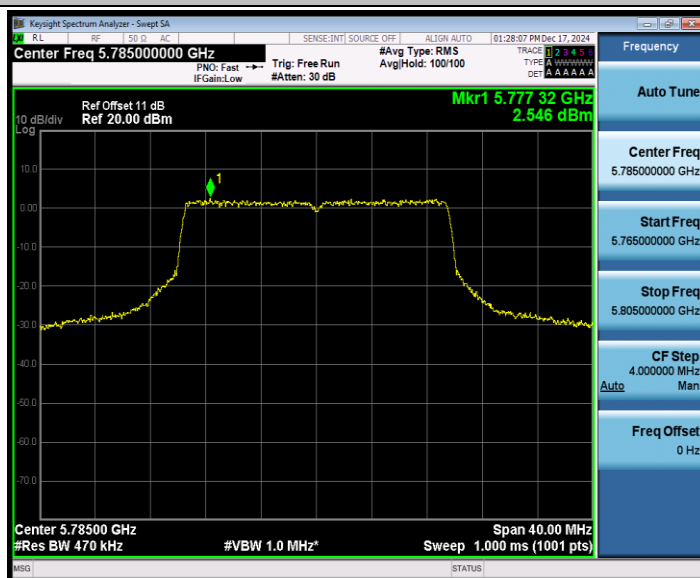
11BE20MIMO_Ant1_5745



11BE20MIMO_Ant2_5745



11BE20MIMO_Ant1_5785



11BE20MIMO_Ant2_5785



11BE20MIMO_Ant1_5825



11BE20MIMO_Ant2_5825

